

## DS (1) Corrigé

### Questions d'application directe du cours.

1°) Un système est stable lorsque sa réponse à 1 régime libre (toutes les entrées nulles à  $t > 0$ ) tend vers zéro au bout d'un temps infini (✓ les conditions initiales)

2°)  $H(j\omega) = \frac{2 - 2j\omega/\omega_0}{1 + j\omega/\omega_0 - (\omega/\omega_0)^2}$  s'écrit en notation de LAPLACE  $H(p) = \frac{2 - 2\frac{p}{\omega_0}}{1 + \frac{p}{\omega_0} + \left(\frac{p}{\omega_0}\right)^2}$  (avec  $\omega_0 = \frac{1}{2}$ )

a) le critère de stabilité simplifié (démontré en cours pour les systèmes du 1<sup>er</sup> et du 2<sup>nd</sup> ordre) est le suivant:

Si le numérateur de la fonction de transfert s'écrit sous la forme:  $b_0 + b_1 p + b_2 p^2$  alors le système est stable si  $b_0, b_1$  et  $b_2$  sont tous de même signe. (Il s'agit également des coefficients dans l'équation différentielle de  $S(t)$ ).

Ici:  $b_0 = 1$     $b_1 = \frac{1}{10\omega_0}$  et  $b_2 = \frac{1}{\omega_0^2}$  tous positifs puisque  $\omega_0 > 0$ .  
Le système est donc stable.

b) Remarquant que le terme présent au dénominateur et absent au numérateur est celui prédominant aux hautes fréquences, on en déduit qu'il s'agit d'un pass-bas du 2<sup>nd</sup> ordre même si les "moyennes" fréquences passent également.

c) Pour  $\omega = \omega_0$     $H(j\omega_0) = \frac{2 - 2j}{1 + j - 1} = \frac{2\omega_0}{j}(1-j)$

on envoie  $H(j\omega_0) = -2\omega_0(1-j) = -2\omega_0 - 2\omega_0 j$

ou  $H(j\omega_0) = 20\sqrt{2} \left(-\frac{1}{\sqrt{2}} - \frac{j}{\sqrt{2}}\right)$

$H(j\omega_0) = 20\sqrt{2} e^{j\frac{5\pi}{4}}$    l'avance de phase  
Gain à  $\omega_0$

Travaillant entre  $-\pi$  et  $+\pi$  pour les déphasages, on tracera l'avance de  $\frac{5\pi}{4}$  par 1 retard de  $+\frac{3\pi}{4}$  de la sortie sur l'entrée à  $\omega_0$ .

3°) Réponse indicielle d'un filtre pass-haut du premier ordre à  $\bar{t}_0$

$$\text{à } t : s(t) + \frac{1}{\omega_0} \frac{ds(t)}{dt} = \frac{k}{\omega_0} \frac{de(t)}{dt} \quad \text{avec } k > 0 \text{ ou } < 0 \\ (\text{ansoy à } H(s) = \frac{k p \zeta}{1 + \zeta^2} \text{ avec } \zeta = \frac{1}{\omega_0}) \quad (\text{pour la stabilité})$$

or aux  $t > 0$   $\frac{de}{dt} = 0$  pour 1e échelon de  $\bar{t}_0$ .

alors la solution de l'équation diff :  $s(t) = s(0^+) e^{-\omega_0 t}$

On détermine  $s(0^+)$  par l'intégration de l'équation différentielle entre  $0^-$  et  $0^+$  (en faisant seulement l'hypothèse que  $s(t)$  est une grandeur finie en zéro) :

$$\int_{0^-}^{0^+} s(t) dt + \frac{1}{\omega_0} [s(0^+) - s(0^-)] = \frac{k}{\omega_0} [\underbrace{e(0^+) - e(0^-)}_{= \bar{t}_0}]$$

$$\text{donc } s(0^+) = s(0^-) + k \bar{t}_0$$

$$\text{ainsi : } s(t) = (s(0^-) + k \bar{t}_0) e^{-\omega_0 t}$$

4°) SGESSM en régime pseudo-périodique ( $\sigma = m = \zeta \leq 1$ )

$$s(t) = S_0 e^{-\sigma \omega_0 t} \cos(\omega t + \phi)$$

$$\text{avec } \omega = \omega_0 \sqrt{1 - \zeta^2} \\ \begin{array}{c} \text{pseudo} \\ \text{pulsation} \end{array} \quad \begin{array}{c} \text{pulsation} \\ \text{anomale} \\ \text{caractéristique} \\ \text{du filtre} \end{array}$$

So l'amplitude

$\zeta$  &  $\phi$  la phase sont directement déterminées par la double condition aux limites temporelles.

5°) Si la 4<sup>e</sup> une pseudo-période est à peine visible :  $\sigma n = \frac{1}{\zeta} = 0,25$

6°) Th de Pauschal : Si une fonction périodique a pour DSF :

$$f(t) = c_0 + \sum_{m=1}^{\infty} (a_m \cos(m \omega_0 t) + b_m \sin(m \omega_0 t))$$

alors la grande "énergie" associée se développe en :

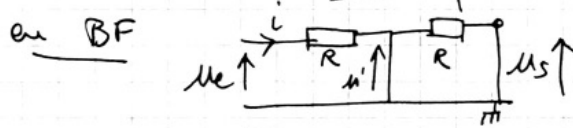
$$\langle f^2(t) \rangle = c_0^2 + \sum_{m=1}^{\infty} \frac{a_m^2 + b_m^2}{2}$$

(somme des énergies des composants independamment)

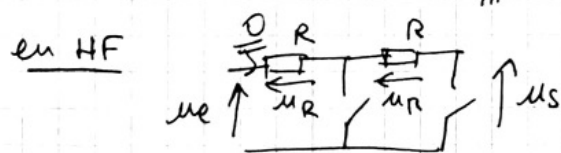
7) la DSF d'un signal triangulaire ne contient pas d'harmoniques paires et leur amplitude décroît en  $\frac{1}{n^2}$ .

### EXERCICE (1) :

1°) En BF, une "self" (auto-inductance pure) se comporte comme 1 fil  $\Rightarrow$   
et en HF comme 1 interrupteur ouvert (impédance infinie  $\Rightarrow i=0$ )  
ainsi les schémas limites équivalents sont :



soit  $u_M = 0$  (avec  $M_L \neq 0$ ).  
donc  $H(BF) \rightarrow 0$



$i=0$  donc  $M_R = R \cdot i = 0$   
or la loi de maille donne :

$$u_M = u_L - M_R i = u_L$$

donc  $H(HF) \rightarrow 1$ .

S'agissant de deux filtres passe-haut du premier ordre  
branchés en "cascade", on s'attend à un filtre lui-même  
passe-haut mais du second ordre.

On confirme que ce filtre laisse passer (intégralement) les fréquences très supérieures à ses propres fréquences caractéristiques.

2)  $\underline{u}'$  est aux bornes de l'association série  $R L$  de la sortie et  $\underline{u}_s$  aux bornes du seul  $L$  de cette association. On peut donc écrire par division de tension :  $\underline{u}_s = \frac{jL\omega}{R+jL\omega} \underline{u}'$   
 (avec  $\underline{Z}_L = jL\omega$ )

Pour la relation entre  $\underline{u}'$  et  $\underline{u}_e$  il faut faire attention !

Si l'on souhaite encore utiliser ce principe de pont diviseur de tension, il faut déterminer l'impédance équivalente à but le bloc présent aux bornes de  $\underline{u}'$ .

Il s'agit ici de  $\underline{Z}_L$  en parallèle avec  $R + \underline{Z}_L$ , ce qui donne :

$$\underline{Z}'_{eq} = \frac{\underline{Z}_L(R + \underline{Z}_L)}{R + 2\underline{Z}_L} = \frac{jL\omega(R + jL\omega)}{R + 2jL\omega}$$

Alors on peut appliquer le diviseur :

$$\underline{u}' = \underline{u}_e \times \frac{\underline{Z}'_{eq}}{R + \underline{Z}'_{eq}}$$

$$\text{soit : } \underline{u}' = \frac{\frac{jL\omega(R + jL\omega)}{R + 2jL\omega}}{R + \frac{jL\omega(R + jL\omega)}{R + 2jL\omega}} \underline{u}_e$$

$$\text{ou } \underline{u}' = \frac{jL\omega(R + jL\omega)}{R^2 + 2jLR\omega + j^2LR\omega - L^2\omega^2} \underline{u}_e$$

$$\text{soit } \frac{\underline{u}'}{\underline{u}_e} = \frac{jLR\omega - L^2\omega^2}{R^2 + 3jLR\omega - L^2\omega^2}$$

$$30) \quad H(j\omega) \equiv \frac{\underline{u}_s}{\underline{u}_e} = \frac{\underline{u}_s}{\underline{u}'} \times \frac{\underline{u}'}{\underline{u}_e} = \frac{jL\omega}{R + jL\omega} \times \frac{jL\omega(R + jL\omega)}{R^2 + 3jLR\omega - L^2\omega^2}$$

$$H(j\omega) = \frac{-L^2\omega^2}{R^2 + 3jLR\omega - L^2\omega^2}$$

$$\text{on envoie } H(j\omega) = \frac{-\left(\frac{L\omega}{R}\right)^2}{1 + 3j\left(\frac{L\omega}{R}\right) - \left(\frac{L\omega}{R}\right)^2}$$

$$A = -\left(\frac{L\omega}{R}\right)^2 \quad B = 1 - \left(\frac{L\omega}{R}\right)^2 \quad \text{et} \quad C = 3\left(\frac{L\omega}{R}\right)$$

en notant  $\omega_0 = \frac{R}{L}$  et  $x = \frac{\omega}{\omega_0}$

d'expression s'écrit :  $H(j\omega) = \frac{-x^2}{1+x^2+3jx}$  QFD.

4°)  $\omega_0 = \frac{R}{L}$  et le gain max correspond aux hautes fréquences

$$x \rightarrow \infty \quad H(j\omega) \rightarrow 1$$

donc  $\underline{G_{dB}^{\max}} = 0 \text{ dB}$

5°)

$$\boxed{x \rightarrow 0}$$

$$G_{dB} \rightarrow 20 \log(x^2) = 40 \log(x)$$

pente de  $+40 \text{ dB/decade}$

avec 1 gain tendant  
vers  $-\infty$   
en dB  
(sans intérêt)

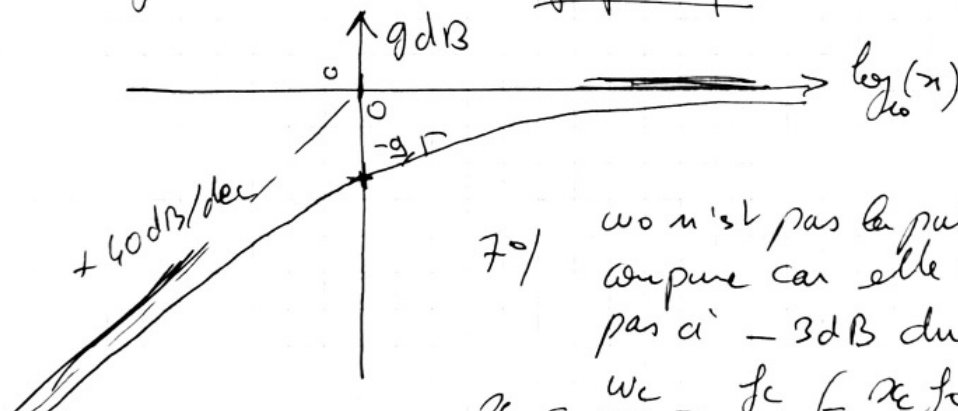
$$\boxed{x=1} \quad H(j) = \frac{-1}{3j} = \frac{j}{3}$$

$$\Rightarrow G_{dB}(x=1) = 20 \log_{10}\left(\frac{1}{3}\right) \approx -9,5 \text{ dB.}$$

$$\boxed{x \rightarrow \infty}$$

$$\underline{G_{dB}} = 0 \text{ dB}$$

6°) Diagramme de Bode asymptotique



7°)  $\omega_0$  n'est pas la pulsation de coupure car elle ne correspond pas à  $-3 \text{ dB}$  du max (ici 0 dB).

$$\omega_c = \frac{\omega_c}{\omega_0} = \frac{f_c}{f_0} \left( = \frac{x_c f_0}{f_0} \right)$$

$$\text{donc } \omega_c = \frac{2\pi f_c}{\omega_0} = 2\pi f_c \times \frac{L}{R}$$

mais :  $R = \frac{2\pi f_c L}{\omega_c}$

A.N. :  $R = \frac{2 \times 3,14 \times 1,5 \cdot 10^4 \times 1,4 \cdot 10^{-3}}{2,67} \approx \frac{115 \cdot 10}{2,67} \approx 50 \Omega$

## Exercice (2) :

1°) loi d'Ohm généralisée :  $u(t) = r i(t) + L \frac{di}{dt}$ .  
 charge potentiel  $\leftarrow$  ohmique  $\rightarrow$  fcm d'auto-induction.

2°) L'alimentation en tension continue  $E_0$  conduit à un régime permanent lors duquel les grandeurs électriques sont constantes. ( $L \frac{di}{dt} = 0$ )  
 la loi de tensions et la loi d'Ohm conduisent à :

$$I = \frac{E_0}{r_0 + r + R} \quad (\text{loi dit de "Pouillet"})$$

$$\text{soit: } U_R = \frac{R E_0}{R + r + r_0}$$

On peut également évoquer le circuit division de tension en RP



$$\text{Ainsi: } r = \frac{R E_0}{U_R} - R - r_0$$

$$\text{A.N: } r = \frac{40}{0,56} - 40 - 2 = 29 \Omega \quad (\text{on ne garde que 2 chiffres significatifs conformément aux données numériques.})$$

3°) Amplitudes lues sur l'oscillogramme :

$$U_e = 5,0 \text{ V et } U_R = 2,5 \text{ V}$$

$$4°) \text{ loi d'Ohm sur } R: I = \frac{U_R}{R} = \frac{2,5}{40} = 0,063 \text{ A}$$

5°) L'impédance "réelle" ( $\neq$  partie réelle de l'impédance complexe !)

$$\text{Vaut par définition: } Z = \frac{U_Z}{I_Z} \left( = \frac{U_{Z\text{eff}}}{I_{Z\text{eff}}} \right)$$

Appliquée au dipôle AM:

$$Z_{AM} = \frac{U_e}{I} = \frac{40 \times 5,0}{2,5} = 80 \Omega$$

6°)  $u_L(t)$  est en avance sur  $u_R(t)$  car elle passe par sa valeur maximale avant  $u_R(t)$ . ( $\Delta t = 0,33 \text{ ms}$ )

7°) L'avance de phase de  $u_e / u_R$  se calcule à partir de l'avance temporelle comme :  $(\varphi_{u_e/u_R} = \frac{2\pi \times (\Delta t)}{\tau} = \frac{2\pi \times 0,33}{4,0} = 0,52 \text{ rad})$

$U_R$  et  $i$  étant en phase (puisque  $U_R(t) = R \cdot i(t)$ ), le déphasage  $\varphi_{U_R}$  est une avance de : 0,52 radians.

8°) L'impédance complexe de l'association réelle des modèles dipolaires entre A et M conduit à la somme complexe :

$$\underline{Z}_{AM} = r + R + jL\omega + \frac{1}{jC\omega} = (\underbrace{R+r}_{\text{résistance}}) + j \left( \underbrace{L\omega - \frac{1}{C\omega}}_{\text{réactance}} \right)$$

9°) Par définition :  $\underline{Z}_{AM} \equiv \frac{U_e}{i} = \frac{U_e}{i} e^{j\varphi_{U_e}} = z_{AM} e^{j\varphi_{U_e}}$

soit également :  $\underline{Z}_{AM} = (z_{AM} \cos \varphi_{U_e}) + j(z_{AM} \sin \varphi_{U_e})$

10°) Par identification des parties réelles de  $\underline{Z}_{AM}$  des questions 8 et 9 :

$$R + r = z_{AM} \cos \varphi_{U_e}$$

$$\Rightarrow r = z_{AM} \cos \varphi_{U_e} - R$$

$$\text{A.N. : } r = \frac{40 \times 50}{21} \cos \left( \frac{\pi}{6} \right) - 40 = 29 \Omega$$

11°) Par identification des parties imaginaires de  $\underline{Z}_{AM}$  :

$$L\omega - \frac{1}{C\omega} = z_{AM} \sin \varphi_{U_e}$$

$$\Rightarrow L = \frac{1}{\omega} \left( z_{AM} \sin \varphi_{U_e} + \frac{1}{C\omega} \right) \quad \text{avec } \omega = \frac{2\pi}{T}$$

$$\text{A.N. : } L = \frac{1}{500\pi} \left( 80 \times 95 + 63,66 \right) \quad \text{avec } \omega = 2\pi f.$$

$$L = 0,066 \text{ H} = 66 \text{ mH}$$

Étude de la fonction de transfert.

12°) La fonction de transfert en tension (à vide) s'écrit par définition

$$\underline{H} \equiv \frac{\underline{U}_R}{\underline{U}_e}$$

13°) Le quadripôle se présente (quelle que soit la fréquence) sous la forme d'un diviseur de tension : (avec les impédances complexes).  $\underline{U}_e \xrightarrow{\frac{1}{C\omega}} r \xrightarrow{jL\omega} \frac{1}{jC\omega} \xrightarrow{R} \underline{U}_R$ .

Aux fréquences "suffisamment" basses, l'impédance de la partie inductive devient négligeable (devant les impédances résistives) alors que l'impédance de la partie capacitive devient ultra dominante. Le courant traversant l'ensemble en série est alors extrêmement faible et la tension aux bornes de R aussi : on dira que les basses fréquences ne passent pas. [en poussant au modèle extrême, le condensateur se comporte comme un "interrupteur ouvert"]

Aux fréquences "suffisamment" hautes, c'est l'impédance de la partie inductive qui devient ultra dominante mais le résultat est le même - les "hautes" fréquences ne passent pas non plus.

Le filtre est donc "probablement" 1 filtre passe-bande.

14°) En appliquant le diviseur de tension proposé à la question 13°

$$\underline{H} = \frac{\underline{U_R}}{\underline{U_E}} = \frac{R}{(R+r) + j(L\omega - \frac{1}{C\omega})}$$

$$15°) \quad \underline{H} = \frac{\left(\frac{R}{R+r}\right)}{1 + j\left(L\omega - \frac{1}{C\omega}\right)} = \frac{\left(\frac{R}{R+r}\right)}{1 + j\left(\frac{1}{R+r}\right)\left(\sqrt{\frac{L}{C}}\right)\left(\sqrt{\frac{L}{C}}\omega - \frac{1}{\sqrt{LC}\omega}\right)}$$

soit par identification avec la forme proposée :

$$H_{max} = \frac{R}{R+r} \quad \omega_0 = \frac{1}{\sqrt{LC}}$$

$$Q = \frac{1}{R+r} \sqrt{\frac{L}{C}}$$

16°) Un diagramme de Bode est l'association de deux graphes :

$gdB = 20 \log_{10}(|\underline{H}|)$  fonction de  $f(\omega)$  en échelle logarithmique.

et  $\varphi = \arg(\underline{H})$  fonction de  $f(\omega)$

17°) le gain max de  $-4,8 dB$  à  $196 Hz$  permet de confirmer :

$$-4,8 = 20 \log\left(\frac{r}{R+r}\right) \Rightarrow r \approx 29 \Omega$$

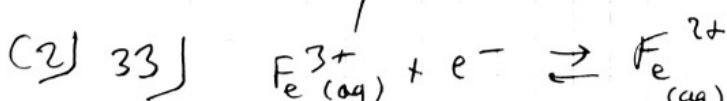
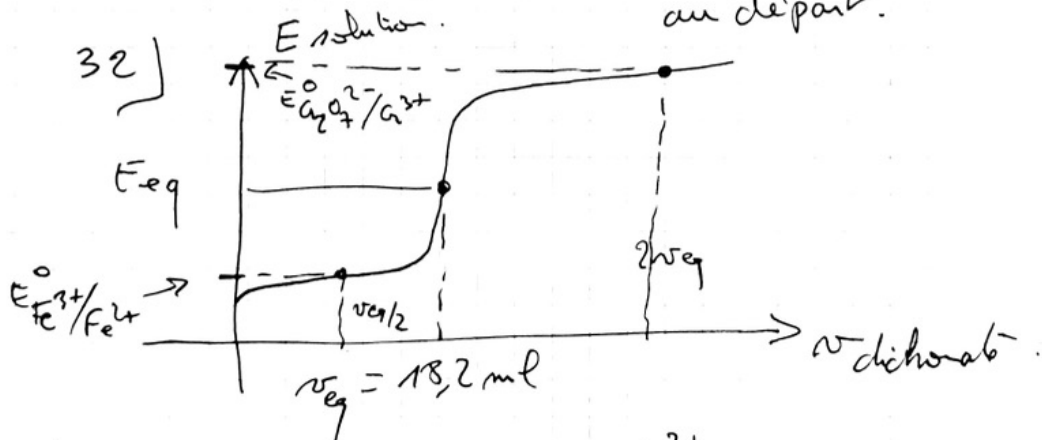
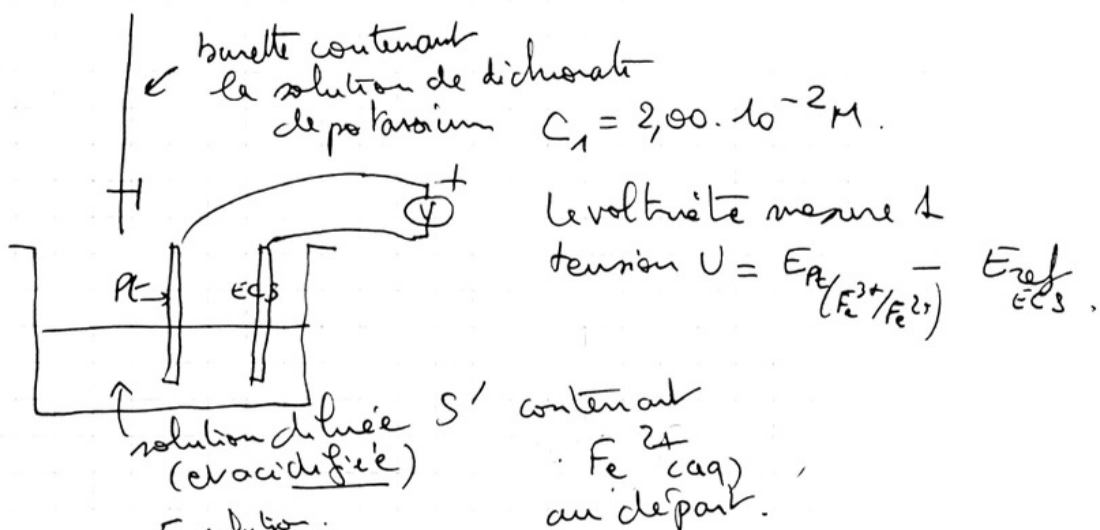
et d'obtenir L par :  $f_0 = \frac{\omega_0}{2\pi} = \frac{1}{2\pi\sqrt{LC}} \Rightarrow L = 0,066 H$

### EXERCICE (3) Dosage du fer $\text{Fe}^{2+}$ .

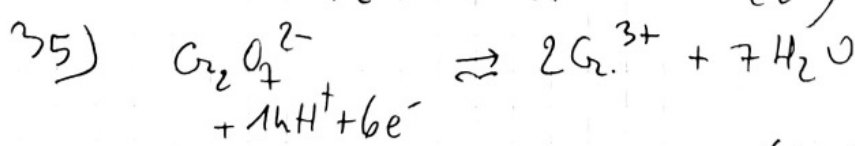
(1) 31) On réalise un dosage potentiométrique avec deux électrodes tammant dans la solution du bocal : l'une de mesure et l'autre de référence.

- L'électrode de mesure pourrait être :
- une électrode de Fer
  - ou
  - une électrode de Platine.

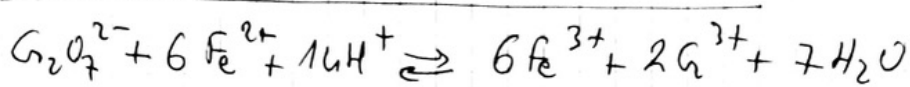
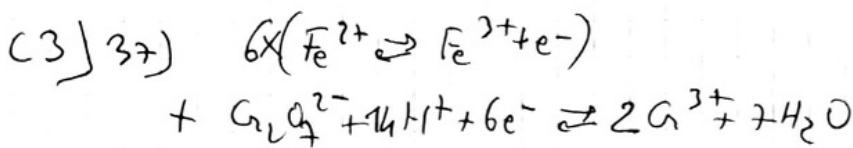
L'électrode de référence généralement utilisée est l'ECS : électrode au calomel saturé qui donne une valeur constante  $V$  la solution dans laquelle elle trempe : +0,245 V



34]  $E = E_{\text{Fe}^{3+}/\text{Fe}^{2+}}^{\circ} + \frac{0,06}{1} \log_{10} \frac{(\text{Fe}^{3+})}{(\text{Fe}^{2+})} \quad \left( \begin{array}{l} \text{activités} \\ \approx \frac{[\cdot]}{[\text{C}^{\circ}]} \end{array} \right) \quad 1 \text{ mol/l}$



36]  $E = E_{\text{Cr}_2\text{O}_7^{2-}/\text{Cr}^{3+}}^{\circ} + \frac{0,06}{6} \log_{10} \frac{(\text{Cr}_2\text{O}_7^{2-})(\text{H}^+)^7}{(\text{Cr}^{3+})^6} \quad \left( \begin{array}{l} \text{activité} \\ \text{du H}_2\text{O} \\ \text{avant} \\ = 1 \end{array} \right)$



38) Unicité du potentiel de la solution à l'équilibre.

$$E_{\text{Fe}^{3+}/\text{Fe}^{2+}}^\circ + 0,06 \log \frac{[\text{Fe}^{3+}]}{[\text{Fe}^{2+}]} = E = E_{\text{Cr}_2\text{O}_7^{2-}/\text{Cr}^{3+}}^\circ + \frac{0,06}{6} \log \frac{[\text{Cr}_2\text{O}_7^{2-}][\text{H}^+]^{14}}{[\text{Cr}^{3+}]^2 [\text{O}^{13}]}$$

or  $K = \frac{[\text{Fe}^{3+}]^6 [\text{Cr}^{3+}]^2 [\text{O}^{13}]}{[\text{Cr}_2\text{O}_7^{2-}]_{\text{eq}} [\text{Fe}^{2+}]^6 [\text{H}^+]^{14}}$  pour l'homogénéité.

d'où:  $-E_{\text{Fe}^{3+}/\text{Fe}^{2+}}^\circ + E_{\text{Cr}_2\text{O}_7^{2-}/\text{Cr}^{3+}}^\circ = \frac{0,06}{6} \log(K)$

donc:  $\log(K) = 100 \times (E_{\text{Cr}_2\text{O}_7^{2-}/\text{Cr}^{3+}}^\circ - E_{\text{Fe}^{3+}/\text{Fe}^{2+}}^\circ)$

ou  $K = 10^{\frac{100 \times (E_{\text{Cr}_2\text{O}_7^{2-}/\text{Cr}^{3+}}^\circ - E_{\text{Fe}^{3+}/\text{Fe}^{2+}}^\circ)}{6}}$ .

$K = 10^{56} !!$

Réaction ultra-quantitative (idéal pour 1 dosage).

(4) 39) On a atteint l'équivalence lorsque les quantités réagissantes (totalement) ont été apportées exactement dans les proportions stoechiométriques de la réaction.

Ici on aura donc:  $n_{\text{Cr}_2\text{O}_7^{2-}} = \frac{1}{6} n_{\text{Fe}^{2+}}^{\text{initial}}$ .

40)  $n_{\text{Fe}^{2+}}^{\text{initial}} = C' \times V_0 = 6 \times C_1 \times n_{\text{eq}} (= 6 \times n_{\text{Cr}_2\text{O}_7^{2-}})$ .

donc:  $C' = \frac{6C_1 n_{\text{eq}}}{V_0} = \frac{6 \times 2 \cdot 10^{-2} \times 15,2}{20} \approx 0,11 \text{ mol/l}$

41) Puisque on avait réalisée une dilution 10X en mettant 10ml de S pour fabriquer 100ml de S'

$$\Rightarrow C = 10C' = \frac{60 C_1 n_{\text{eq}}}{V_0} \approx 1,1 \text{ mol/l}$$

$$42) \quad \kappa_{Fe^{2+}} = P = \frac{m_{Fe^{2+}}}{m_{solution}} = \frac{M_{Fe^{2+}} \times (C \times V_{solution})}{m_{solution}}$$

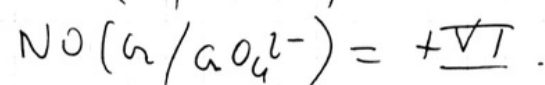
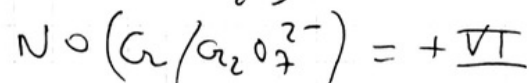
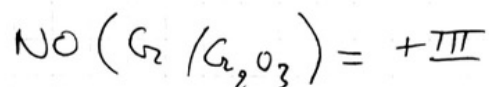
donc  $P = \frac{M_{Fe^{2+}} \times C}{\rho_{sol}}$

comme la densité de la solution est  $\frac{\rho_{sol}}{\rho_{eau}} \Rightarrow \rho_{sol} = 1,05 \cdot \rho_e^3 / \rho$

$$M_{Fe^{2+}} \approx M_{Fe} = 55,8 \text{ g/mol}$$

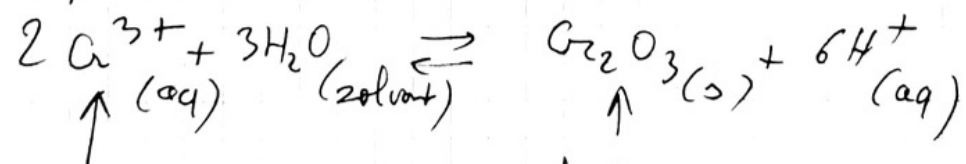
donc :  $P = \frac{55,8 \times 11}{1,05 \cdot \rho_e^3} \approx 5,8 \% \approx 6 \%$

(5) b) On calcule les degrés d'oxydation du Cr dans chaque entité :  $NO(Cr/Cr^{3+}) = +III$ .



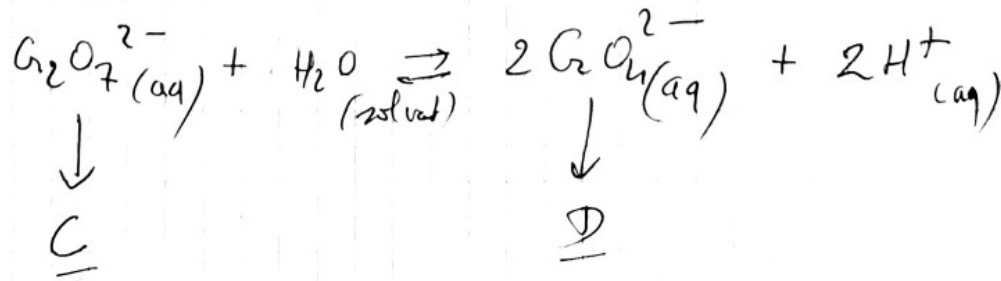
les limites verticales (réactions purement acide-base) concernent donc  $CrO_4^{2-}$  et  $Cr_2O_7^{2-}$  pour la limite entre C et D. et  $Cr^{3+}$  et  $Cr_2O_3$  pour la limite entre A et B.

L'écriture de ces réactions acide-base permet d'identifier les espèces :



$\xrightarrow[\text{base}]{} A$

$\xrightarrow[\text{du complexe}]{} B$



44) On lit  $E_{\text{lin}} = -0,47 \text{ V}$  à la frontière d'apparition du premier cristal de  $\text{Fe}(\text{s})$  et on a alors  $[\text{Fe}^{2+}]_{\text{lin}} = 0,1 \text{ M}$  puisque la concentration totale en espèces dissoutes est de  $0,1 \text{ M}$  et qu'il s'agit de la forme ultra-prédominante dans cette zone.

Alors :

$$-0,47 = E_{\text{Fe}^{2+}/\text{Fe}}^{\circ} + \frac{9,06}{2} \log_{10} \underbrace{\frac{[\text{Fe}^{2+}]_{\text{lin}}}{C^{\circ}}}_{-1}$$

$$E_{\text{Fe}^{2+}/\text{Fe}}^{\circ} = -0,47 + 9,03 = \underline{-0,44 \text{ V}}$$

45) La limite verticale d'apparition du premier cristal de  $\text{Fe}(\text{OH})_2$  est située à  $\text{pH} = 7$  soit à 1 concentration de  $\text{OH}^-$

$$[\text{OH}^-] = 10^{-7} \text{ mol/l} \quad (K_e = 10^{-14} = \frac{[\text{OH}^-][\text{H}_3\text{O}^+]}{C^{\circ 2}})$$

$[\text{Fe}^{2+}] = 0,1 \text{ M}$  sur cette limite (ultra-dominante en solution dans cette zone)

donc

$$K_s (\text{Fe}(\text{OH})_{2,\text{s}}) = [\text{Fe}^{2+}]_{\text{eq}} [\text{OH}^-]_{\text{eq}}^2$$

$$= 0,1 \times (10^{-7})^2 = \underline{10^{-15}}$$

46) Aux pH très acides, proche de zéro, les domaines de prédominance de  $\text{Cr}_2\text{O}_7^{2-}$  et de  $\text{Fe}^{2+}$  sont disjoints ( $1,25 > 0,72$ ) donc il ne peut y avoir simultanément ces espèces dominantes : l'espèce en défaut sera complètement consommée.

